

استفاده از زمان پاسخ، مؤلفه شناختی P300 و تلفیق دو مد به منظور تشخیص "دانش فرد خطاکار"

امین محمدیان^۱، حمید ابوطالبی^{۲*}، محمدمحسن مرادی^۳، محمدعلی خلبازاده^۴

^۱-پژوهشکده پردازش هوشمند علامت-۲-دانشگاه یزد

^۳-دانشگاه صنعتی امیرکبیر-۴-دانشگاه آزاد اسلامی واحد مشهد

چکیده:

روش‌های موجود تشخیص دروغ که بر اساس پلی‌گرافی کلاسیک عمل می‌کنند، سعی می‌کنند با استفاده از مشخصات چندین سیگنال فیزیولوژیک، به تفکیک فرد راستگو یا دروغ‌گو بپردازنند. رویکرد دیگری که در کنار روش کلاسیک مطرح گردیده است، استفاده از مؤلفه شناختی P300 سیگنال‌های مغزی برای کشف دانش فرد خطاکار است؛ در ادامه توسعه این روش‌ها، موضوعی که در این تحقیق به آن پرداخته شده است، بحث ارزیابی تشخیص دانش فرد و تلفیق تحلیل زمان پاسخ و مؤلفه شناختی P300 مغز است. بهمین منظور چندین روش قبلی، تحلیل مغزی و تحلیل زمان پاسخ پیاده‌سازی و توسعه داده شد و ترکیب حالات مختلفی از روش‌ها مورد بررسی قرار گرفت. نتیجه روش تحلیل زمان پاسخ توسعه‌یافته در این تحقیق، به صحت ۸۱٪ و سطح زیر منحنی ۰.۸۵ رسیده است که با بهترین نتیجه تحلیل مغزی در کارهای قبل (استفاده از طبقه‌بندی کننده با ویژگی‌های مبتنی بر تبدیل موجک که صحت ۸۰٪ و سطح زیر منحنی ۰.۸۶ داشت به طور کامل قابل مقایسه است. از بین حالات مختلف تلفیق روش‌های تحلیل مغزی و زمان پاسخ، بهترین نتیجه، مربوط به روش تحلیل زمان پاسخ بوت استرپ شده و تشخیص P300 به روش اختلاف دامنه بوت استرپ شده بود. این تلفیق صحت تفکیک بین افراد خطاکار و بی‌گناه را تا ۸۸٪ بهبود داد که این بهبود با استفاده از آزمون مک نمار در مقایسه با نتیجه روش اختلاف دامنه بوت استرپ شده به عنوان بهترین نتیجه تحقیقات قبل به طور کامل معنی دار (۰.۰۱) بود.

واژه‌های کلیدی: زمان پاسخ، آزمون دانش فرد خطاکار، پتانسیل برانگیخته بینایی، تحلیل چند مد

۱- مقدمه

بیش از نیم قرن است که تلاش‌هایی به منظور توسعه روش‌های فیزیولوژیک، به منظور تشخیص دانش مخفی شده، صورت می‌گیرد.

روش غالب در دروغ‌سنجدی تا دهه ۱۹۸۰، پلی‌گرافی کلاسیک بود که چندین ویژگی مرتبط با سیستم اعصاب خودکار را اندازه‌گیری می‌کرد [۱] از آنجایی که این روش از جهت وایسته بودن به استرس، مورد نقدهایی قرار گرفت، روش‌های دیگر، توسعه پیدا کردند. مطرح شدن روش استفاده از پتانسیل‌های برانگیخته بینایی در دهه ۱۹۸۰، از جمله این موارد بود. امروزه با دو رویکرد غیر تهاجمی، به مطالعه فعالیت‌های مغزی می‌پردازنند. در روش‌های تصویربرداری از فعالیت‌های شناختی، همچون PET، FMRI، مزیت

در [۱۲] زمان پاسخ افراد در پروتکل دوتحریکه در افراد خطاکار بیشتر از افراد بی‌گناه بوده است. رویکرد تلفیق زمان پاسخ و تحلیل‌های مغزی تاکنون گزارش نشده است؛ تنها نتایج تحلیل آماری جدأگانه از داده رفتاری فرد در مقالات مربوط به تحلیل پتانسیل برانگیخته گزارش می‌شود [۱۵، ۱۶]. اما ترکیبی بین دو تحلیل صورت نمی‌گیرد. اگرچه ترکیب متغیرهای مرتبط با وضعیت فیزیولوژی روانی و فعالیتهای شناختی امروزه در تحقیقات و کاربرد فوایدی دارد اما آن‌چه که مشکل اصلی این ترکیب است، مربوط به اختلاف آن‌ها در پروتکل مختلف فعال‌سازی آن‌هاست. در [۱۷] در عمل تحلیلی از تلفیق پاسخ مقاومتی پوست و پاسخ رفتاری و مغزی افراد انجام نشده است. اما از آن‌جاکه پروتکل فعال‌سازی زمان پاسخ و روش کسب دانش مخفی از طریق پتانسیل برانگیخته بینایی یکسان هستند و هر دو مبتنی بر سیستم شناخت افراد هستند؛ پیش‌بینی می‌شود، نتیجه قابل قبولی به‌دست آید. در مطالعات [۱۳، ۱۶] استفاده از این پارامتر را مفید ارزیابی کرده‌اند.

با توجه به مဂادله‌آمیز بودن استفاده از تحلیل زمان پاسخ در تشخیص دانش فرد خطاطاکار، در این تحقیق تلاش شده است هم تحلیل زمان پاسخ، به عنوان یک پارامتر مستقل مورد بررسی قرار گیرد و هم با ترکیب آن با تحلیل‌های مغزی، رویکرد جدیدی در تشخیص دانش فرد خطاطاکار ارایه گردد.

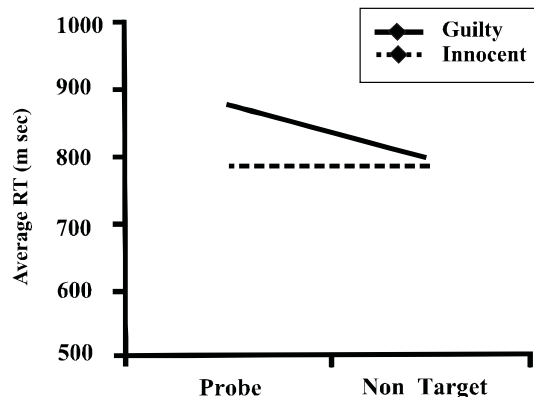
هستند که می‌توان با استفاده از تحلیل‌های رفتاری چون آنالیز زمان پاسخ افراد در قالب یک آزمون، فریب^۱ را تشخیص داد [۱۲].

روش تحلیل زمان پاسخ فرد با این حقیقت که اجزای درون‌زای مربوط به فعالیت مغز با افزایش پردازش‌های مغز^۲ به تأخیر می‌افتد، قابل توجیه است. مدل‌های شناختی براساس جلب توجه فرد در هنگام مواجهه با تحریک‌های شناخته شده، پیشنهاد شده‌اند که می‌توانند افزایش زمان پاسخ فرد گناهکار را در مواجهه با سؤال مورد تحقیق، توضیح دهند [۱۳]. اندازه‌گیری این ویژگی بسیار ارزان و ساده است، اما نتایج متناقضی از کارآیی این روش جهت تشخیص اغفال گزارش شده است [۱۴، ۳]. فارول^۳ که از محققان مطرح در حوزه دروغ‌سنجه مغزی است، به صورت آماری آن را معنی دار دانسته و در ادامه کار او نتایج مشابه دیگری نیز گزارش شده است. در شکل (۱) نمایش میانگین زمان پاسخ افراد در دو گروه خطاطاکار و بی‌گناه نسبت به دو سؤال نامریبوط و پروب نمایش داده است؛ به طوری که مشاهده می‌شود، میانگین زمان پاسخ افراد خطاطاکار و بی‌گناه به سؤال پروب، متفاوت و به سؤال نامریبوط، یکسان است. محققان اما [۱۵] قبل اطمینان بودن زمان پاسخ را اثبات کرده‌اند و آن را به عنوان یک روش مستقل در تشخیص فرد خطاطاکار معرفی کرده‌اند.

۲- روش

۱-۲- مشخصات افراد

۶۲ فرد (۵۹ مرد و ۳ زن) که دانشجوی کارشناسی یا کارشناسی ارشد بودند (همه دارای بینایی سالم یا تصحیح شده) در این مطالعه مشارکت کرده‌اند. هر سوژه در دو آزمایش جداگانه شرکت می‌کند و به دلخواه خود در یکی از این آزمایش‌ها با بازکردن یک جعبه و مشاهده یک شیء قیمتی نقش خطاطاکار را ایفا می‌کند. سوژه در آزمایش دیگر نقش بی‌گناه را بازی می‌کند. پس از این مرحله سوژه رو به روی یک صفحه نمایش می‌نشیند و ثبت شروع می‌شود. در حین ثبت بر روی صفحه نمایش تصویر پنج شیء مختلف (هر کدام با ۳۰ بار تکرار) تک‌تک و به طور تصادفی نشان داده می‌شود که شامل یک شیء هدف، پک شیء پروب و سه شیء غیر مربوط است. شیء پروب، همان شیء داخل جعبه است و شیء هدف نیز قبل از آزمایش به سوژه نشان داده می‌شود. دو



شکل (۱) میانگین زمان پاسخ افراد خطاطاکار و بی‌گناه به دو سؤال پروب و غیر مرتبط در کار فارول [۱۵]

¹ Deception

² Brain Processing

³ Farwell



می شود، استفاده شده است. این آزمون از این واقعیت استفاده می کند که یک فرد خطاکار در مواجهه با اطلاعات دقیق وابسته به جرم مورد تحقیق، واکنش بیشتری را در مقایسه با حالت مواجهه با اطلاعات مشابه نامربوط با جرم بروز می دهد. از سوی دیگر، انتظار می رود که فرد بی گناه به هر دو مورد یکسان پاسخ نشان دهد. مشکل اصلی آزمون های GKT کلاسیک، فقدان کنترل بر روی سوزه است ولی در نوع تغییریافته GKT که در این تحقیق نیز از آن استفاده می شود برای رفع این اشکال، یک دسته سؤال جدید تحت عنوان سؤال هدف به آزمون اضافه می شود که یک پاسخ کنترلی خاص را فراهم می کند. آزمون های GKT از بیشترین مقبولیت و کاربرد در تحقیقات جنایی بر روی جرم های خاص برخوردار هستند^[۱۹]. آزمون حاضر شامل سؤالات هدف(کنترلی)، سؤالات مربوط(پروب) و نامربوط است. این سؤالات در قالب الگوی ادبال^۴ به صورت مجموعه ای از تصاویر به افراد نشان داده می شوند. جزئیات زمان بندی آزمون در شکل (۲) نشان داده شده است.

۳- تحلیل دادگان

تمرکز عمده این تحقیق در قدم اول بر روی تحلیل مناسب اختلاف تأخیر در پاسخ افراد در انواع سؤالات است تا با تعیین سطح تصمیم مناسبی، بتوان فرد خطاکار و بی گناه را از یکدیگر تفکیک کرد. در قدم دوم با بررسی روش های مختلف تشخیص فرد خطاکار با استفاده از سیگنال های مغزی، به ترتیب مناسبی از تلفیق این دو منبع پرداخته می شود، به نحوی که نتیجه تشخیص دانش فرد خطاکار را بهبود دهد.

۳-۱- روش تحلیل زمان پاسخ بوت استرپ شده^۵ (BART)

تأخیر بین تحریک و پاسخ فرد نسبت به تحریکات بینیایی به عنوان زمان پاسخ تعریف می شود. این زمان پاسخها به سه دسته، بر حسب نوع تحریک که توضیح داده شد، تقسیم می شوند یعنی نوع ۱ پروب، نوع ۲ هدف و نوع ۳ نامربوط. ابتدا از هر یک از سه نوع زمان پاسخ ویژگی هایی استخراج و بهترین آن ها انتخاب گردید که در ادامه فرمول آن ها آورده شده است. میانگین پاسخ های فرد در گروه پروب، هدف و

کلید نیز برای دادن جواب بله و خیر به دو دست سوزه داده می شود؛ از سوزه خواسته می شود در مورد اشیایی که قبل از دیده است جواب بله و در مورد اشیایی که قبل از دیده است جواب خیر بدهد و در عین حال درصورتی که نقش خطاکار را اجرا کرده است، سعی می کند این امر را مخفی نماید. بنابراین تمام سوزه ها (چه خطاکار و چه بی گناه) در مورد شیء هدف پاسخ بله و در مورد اشیای پروب و نامربوط جواب خیر می دهند. در حقیقت هدف از ارایه شیء هدف، بررسی میزان همکاری و توجه فرد به روند ثبت است. ۳۲ نفر از افراد در اوین آزمون نقش بی گناه و ۳۰ نفر نقش خطاکار را بازی کرده بودند. تعدادی از ثبت ها به دلیل عدم اجرای مناسب پروتکل یا ثبت نامناسب سیگنال ها از دادگان حذف شدند و در مجموع ۱۰۹ مورد ثبت (شامل ۵۹ خطاکار و ۵۰ بی گناه) مورد استفاده قرار گرفت، از این دادگان در [۱۸، ۱۹] استفاده شده است.

۲-۲- مشخصات سیستم ثبت

بعد از نصب الکترودهای Ag-AgCl که روی خط وسط سر در محل کانال های Fz و Cz و Pz (متالیق استاندارد ۱۰-۲۰) نصب می گردید و کنترل پایین تر بودن امپدانس اتصال از حد لازم، آزمایش شروع می شد. برای ثبت سیگنال ها از سیستم رایانه ای ثبت سیگنال های مغزی استفاده گردید. این سیستم پس از تقویت سیگنال ها، آن ها را با فرکانس ۲۵۶ هرتز نمونه برداری کرده و هر نمونه را در شانزده بیت ذخیره می نمود. از هر یک از سوزه ها دو آزمایش گرفته شد. پردازش ها بعد از اتمام ثبت ها و به صورت غیرهمزن^۱ انجام شد. تنها پهنه ای باند بین ۰.۵ تا ۳۵ هرتز از سیگنال ثبت شده، نگه داشته شد^[۱۶]، همچنین جهت حذف اثر نامطلوب پتانسیل الکتریکی چشم بر روی سیگنال های مغزی برای سیگنال EOG سطح آستانه ای در نظر گرفته شد و سیگنال های مغزی همزمان با فعالیت EOG بالاتر از سطح در نظر گرفته شده وارد مراحل تحلیل نشدند، بنابراین تعدادی از تک ثبت ها هر فرد از این طریق حذف گردیدند.

۲-۳- فرضیات و روال آزمون

در این تحقیق از آزمون دانش فرد خطاکار^۲ (GKT) که به عنوان آزمون اطلاعات مخفی شده^۳ (CIT) نیز نامیده

¹. Offline

² Guilty Knowledge Test

³ Concealed Information Test

است؛ روش بوت استرپینگ روشی آماری است برای تخمین توزیع نمونه‌های یک تخمین‌گر بهوسیله نمونه‌برداری تکرار شونده تصادفی از بین نمونه‌های اصلی با جایگذاری استفاده می‌شود؛ این روش اغلب به عنوان یک تخمین‌گر پایدار از خطای استاندارد و بازه اطمینان از پارامترهای یک جمعیت همچون میانگین، میانه مورد استفاده قرار می‌گیرد.

بهترین ویژگی یعنی رابطه^(۶) از زمان پاسخ بوت استرپینگ شده، استخراج شد که تعداد تکرارها ۵۰۰ بار بود، تعداد نمونه‌های اولیه مربوط به هر سؤال هر فرد کمتر از ۳۰ عدد بود، اما با استفاده از تکرار ۵۰۰ بار در روش بوت استرپینگ برای هر سؤال هر فرد ۵۰۰ نمونه به دست می‌آید. با توجه به مناسب بودن ویژگی انتخابی، از یک طبقه‌بندی کننده استاندارد آماری یعنی LDA برای طبقه‌بندی استفاده شد. با استفاده از روش Loo و به کمک طبقه‌بندی کننده LDA به طبقه‌بندی نمونه‌های هر فرد پرداخته و میانگین خروجی طبقه‌بندی کننده نسبت به نمونه‌های هر فرد، درصد آماری خطاکار بودن و بی‌گناه بودن فرد را مشخص می‌کند.^(۱۸)

۲-۲- تحلیل سیگنال‌های مغزی

در تحلیل پتانسیل برانگیخته بینایی مغزی، به منظور تشخیص مؤلفه شناختی P300 سه رویکرد در کارهای قبل مدد نظر بوده است^[۱۶] که هر یک از این سه روش پیاده‌سازی شدند.

۳-۱- روش اختلاف دامنه بوت استرپ شده (BAD^۳)

این روش اولین بار توسط روزنفلد پیاده‌سازی شد^[۱۶]. اساس روش BAD ، تخمین توزیع آماری شکل موج متوسط P300 در سؤالات مختلف با استفاده از الگوریتم بوت استرپینگ و سپس مقایسه دامنه P300 در سؤال پرور با مقدار آن در سؤالات هدف و غیرمرتبط است. در نهایت روش BAD به صورت درصد عددی بین ۰ تا ۱۰۰ را برای سؤال پرور سوژه محاسبه می‌کند که متناسب با میزان نزدیک بودن پاسخ پرور به پاسخ هدف و دور بودن پاسخ پرور از پاسخ غیرمرتبط است. بنابراین هرچه عدد به ۱۰۰ نزدیک‌تر باشد، احتمال اطلاع فرد از موضوع سؤال پرور بیشتر است^[۱۶].

^۳ Bootstrapped Amplitude Difference

نامریوط طبق سه رابطه (۱،۲،۳) محاسبه شده است. که RT زمان پاسخ، Irrelevant، probe مشخص کننده نوع تحریک و N تعداد نمونه‌های زمان پاسخ در هر فرد نسبت به هر نوع سؤال است که کمتر از ۳۰ است.

(۱)

$$ARTP = \frac{1}{N} \sum_{n=1}^N (RT_{Probe}(n))$$

$$ARTI = \frac{1}{N} \sum_{n=1}^N (RT_{Irrelevant}(n)) \quad (۲)$$

$$ARTT = \frac{1}{N} \sum_{n=1}^N (RT_{Target}(n)) \quad (۳)$$

ویژگی دیگر ترکیب سه ویژگی قبل به شکل رابطه^(۴) است.

$$MR = ARTP / (ARTI + ARTT) \quad (۴)$$

میانه و مدهای پاسخ‌های فرد در گروه پرور، هدف و نامریوط نیز محاسبه گردید که در مجموع ده ویژگی شد، یازدهمین ویژگی، ترکیب سه رابطه اول، طبق رابطه^(۵) است.

$$ARTP = (ARTI + ARTT) \quad (۵)$$

$$ARTP = (ARTI) \quad (۶)$$

بعد از استخراج ویژگی‌ها با استفاده از روش تحلیل قدم به قدم تفکیک‌پذیری خطی^۱ دسته ویژگی مناسب استخراج گردید. در این انتخاب از مقدار F ۳.۸۴ برای وارد کردن و ۲.۷۱ برای خارج کردن از گروه انتخابی دسته ویژگی‌ها استفاده شده است^[۱۸]. ویژگی مربوط به رابطه^(۶) به عنوان ویژگی برگزیده این روش گزارش شد. به همین منظور از این ویژگی در مرحله بعد یعنی پیاده‌سازی روش تسویه یافته تحلیل زمان استفاده شد. بلوک دیاگرام مربوط به روش تحلیل زمان پاسخ کامل‌تر در شکل^(۳) آورده شده است. برای به دست آوردن مجموعه آماری از داده زمان پاسخ فرد از روش بوت استرپینگ^۲ استفاده شده است، به همین دلیل به آن روش تحلیل زمان پاسخ بوت استرپ شده گفته شده

^۱ Stepwise Discriminant analysis

^۲ Bootstrapping



در این روش به شکل‌های مختلف به ترکیب نتایج چندین طبقه‌بندی کننده می‌پردازند تا از ترکیب آن‌ها به صحّت طبقه‌بندی بهتر با فرض افزایش محاسبات دست پیدا کنند.

در این مقاله از روش میانگین‌گیری بین خروجی طبقه‌بندی کننده‌ها با استفاده از طبقه‌بندی کننده سوم استفاده شده است. هر یک از دو طبقه‌بندی کننده توسط داده آموزش تعلیم دیده، سپس داده تعلیم به ورودی هر یک از دو طبقه‌بندی کننده اعمال و خروجی دو طبقه‌بندی کننده به عنوان ورودی طبقه‌بندی کننده سوم همراه با برچسب آن داده استفاده می‌شود و در نتیجه طبقه‌بندی کننده سوم هم مورد تعلیم قرار می‌گیرد.

به‌طوری‌که طبقه‌بندی کننده سوم، وزن هر یک از دو طبقه‌بندی کننده قبل را براساس داده آموزش تعیین می‌کند؛ و از خروجی طبقه‌بندی کننده سوم برای تصمیم‌گیری استفاده می‌شود.

۴- نتایج

در تحلیل و مقایسه نتایج از دو معیار برای مقایسه روش‌ها استفاده شده است:

- صحّت تشخیص یا نرخ تشخیص
- مساحت زیر منحنی ROC^۳ به عنوان یک ROC^۴
- منحنی ROC نمودار نمایش حستاسیت طبقه‌بندی کننده [به معنی نسبت مثبت مثبت (TPF)] بر حسب اختصاصی بودن [به معنی نسبت مثبت غلط (FPF)] است. بنابراین با فرض داشتن یک FPF ثابت هر چه TPF بزرگ‌تر باشد، کارآیی طبقه‌بندی کننده بیشتر است. به عنوان یک متغیر خلاصه از این نمودار، مساحت زیر منحنی آن در مقایسه طبقه‌بندی کننده‌ها مورد استفاده قرار می‌گیرد. [۲۰]

۴-۱- نتایج تحلیل زمان پاسخ

ویژگی برگزیده زمان پاسخ یعنی ویژگی رابطه^(۶) با استفاده از آزمون T- student با ($t=7$, $p<0.05$) دارای سطح معنی‌داری در تفکیک افراد خطاکار و بی‌گناه بود. در واقع این ویژگی بیان دیگری از شکل^(۴) یعنی اختلاف دو گروه خطاکار و بی‌گناه در زمان پاسخ مربوط به سؤال پرور و غیر مرتبط است.

۴-۲-۳- روش اختلاف همبستگی بوت استرپ شده (BCD)^۱

اساس روش BCD، تخمین توزیع آماری شکل موج متوسط P300 در سوالات مختلف با استفاده از الگوریتم بوت استرپینگ و سپس محاسبه همبستگی شکل موج‌های مربوط به سؤال پرور با شکل موج‌های مربوط به سوالات هدف و غیرمرتبط است. درنهایت روش BCD همانند BAD به صورت درصد عددی بین ۰ تا ۱۰۰ را برای سؤال پرور سوژه محاسبه می‌کند که مناسب با میزان همبستگی پاسخ‌های پرور با پاسخ‌های هدف و عدم همبستگی پاسخ‌های پرور با پاسخ‌های غیرمرتبط است. بنابراین هر چه عدد به ۱۰۰ نزدیک‌تر باشد، احتمال اطلاع فرد از موضوع سؤال پرور بیشتر است [۱۰].

۴-۲-۳- طبقه‌بندی کننده LDA^۲

در روش LDA، اساس کار بر آموزش ویژگی‌های تک‌ثابت های پرور قبلی (با برچسب مشخص) به یک طبقه‌بندی کننده آماری و استفاده از آن در برچسبزنی تک‌ثابت‌های مربوط به سوژه جدید نهاده شده است. ویژگی‌های مورد استفاده و پارامترهای روش، در مرحله قبلی کار بهینه‌سازی شده است [۱۸].

۳- تحلیل چند مد

یک راه ممکن برای بهبود کارآیی تشخیص دانش مخفی شده، استفاده از ترکیب اطلاعات روش‌های متداول در کسب دانش از فرد است؛ در این تحقیق سعی شده است تا به ارزیابی میزان کارآیی ترکیب‌های مختلف از دو روش متداول کسب دانش بر اساس پتانسیل‌های برانگیخته و پاسخ رفتاری فرد بپردازیم. همان‌طور که انسان در شناسایی محیط خود از مدهای مختلف استفاده می‌کند، پیش‌بینی می‌شود نتیجه، سیستم‌های خودکار چندمدم نیز از حالت تک‌مد نتیجه بهتری داشته باشند.

همچنین در مواردی اطلاعات موجود در زمان پاسخ فرد می‌تواند مکمل اطلاعات موجود در سینکنال‌های مغزی آن باشد. به همین منظور چندین روش برگزیده از بین روش‌های موجود در تحلیل پتانسیل‌های برانگیخته و تحلیل زمان پاسخ فرد با یکدیگر به شکل ماشین همیار ترکیب و بهترین نتیجه انتخاب شد.

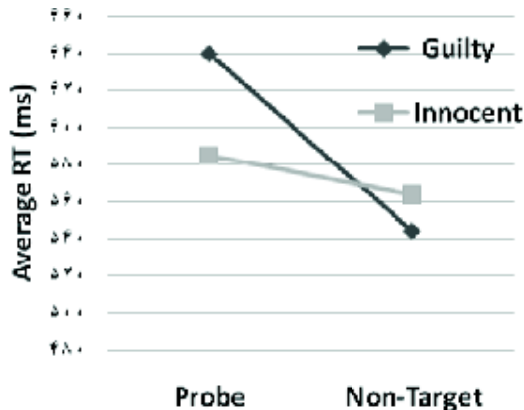
^۱ Bootstrapped Correlation Difference

^۲ Linear Discriminant Analysis

³ Area Under Curve

⁴ Receiver Operating Characteristic

سال ۱۳۸۸ شماره ۱ پیاپی ۱۱

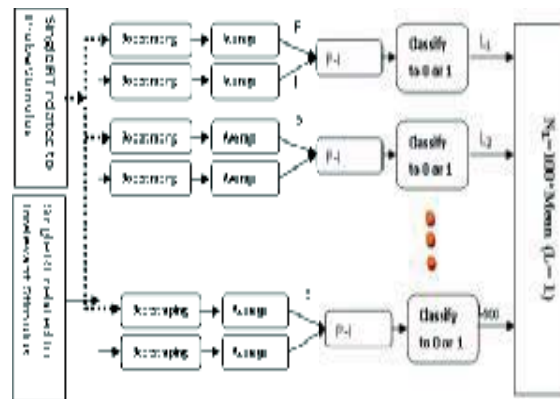


شکل(۴) نمایش میانگین کل زمان پاسخ دو دسته افراد خطاکار و بی‌گناه نسبت به تحریک پرورب و غیر مرتبط

خطاکار و بی‌گناه است و صحت تشخیص از روی آستانه تعیین شده روی محور افقی و اندیس اختصاص داده شده توسط طبقه‌بندی‌کننده، محاسبه می‌شود. در این تست هر نوع سؤال حداکثر سی بار برای افراد تکرار می‌شد تا در تحلیل سیگنال‌های مغزی جهت بهبود سیگنال به نویز مورد استفاده قرار گیرد و از طرف دیگر در تحلیل زمان پاسخ فرد، افزایش نمونه‌های پاسخی افراد نسبت به یک سؤال تخمين آماری بهتری از وضعیت فرد داده می‌شود؛ اما از طرف دیگر زمان آزمون طولانی‌تر می‌شود، در این قسمت سعی شد تا تعداد نمونه کمتر مورد بررسی قرار گیرد تا در صورت دستیابی به جواب مناسب، زمینه کاهش زمان آزمون در اجرای آزمون‌های دیگر را فراهم کند. بهمین منظور از بین سی نمونه به صورت تصادفی مقادیر ۲۵، ۱۵ و ۱۰ تایی انتخاب و روای تحلیل به روش BART محاسبه گردید که نتایج آن در جدول (۱) گزارش شده است.

جدول(۲) نتایج تحلیل پتانسیل برانگیخته مغزی

روش	BCD	BAD	LDA
صحت	%۷۸.۱۵	%۷۰	%۸۰.۹۵
AUC	۰.۸۶۴۷	۰.۸۲۵۴	۰.۸۳۲۹



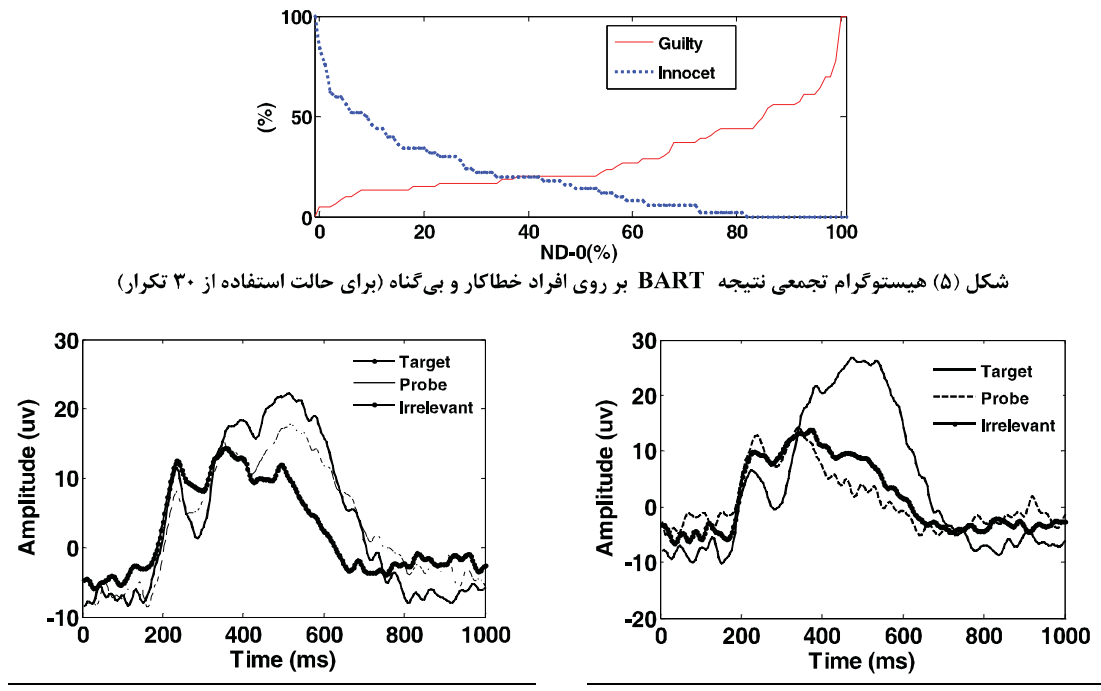
شکل (۳) بلوک دیاگرام روش BART (با ۵۰۰ بار تکرار)

۴-۲- نتایج تحلیل زمان پاسخ بوت استرپ شده

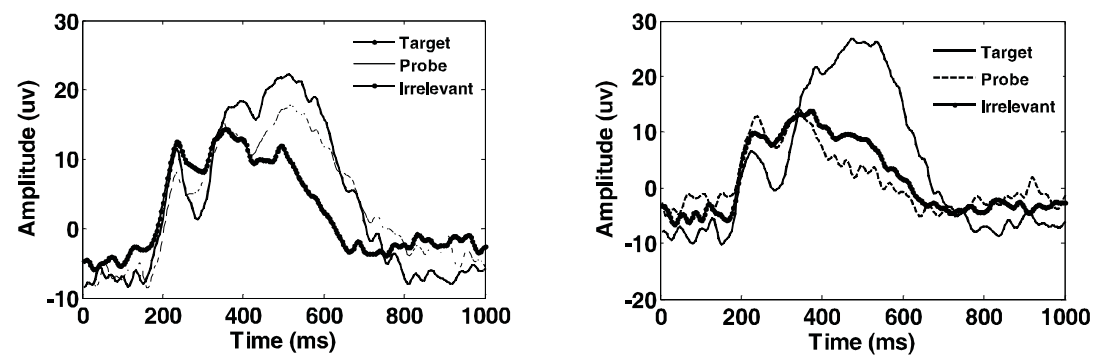
شکل(۵) هیستوگرام تجمعی مربوط به ۱۱۰ سوژه آزمایشگاهی را نشان می‌دهد. برای هر فرد BART عددی بین ۰ تا ۱۰۰ تشخیص می‌دهد. هیستوگرام تجمعی افراد دو گروه بر اساس درصد تشخیص داده شده توسط هر BART فرد است. هیستوگرام تجمعی بر روی تعداد افراد محاسبه شده و به صورت درصد بیان شده است. در شکل‌ها هیستوگرام تجمعی افراد خطاکار از چپ به راست و هیستوگرام تجمعی افراد بی‌گناه از راست به چپ بر روی یک نمودار رسم شده است. انتظار می‌رود که افراد بی‌گناه بیشترین حضور را در سمت چپ و افراد خطاکار در سمت راست داشته باشند. از هیستوگرام تجمعی جهت محاسبه معیار صحت طبقه‌بندی استفاده شده است. به طور مثال در شکل(۵)، میزان خطا در تشخیص افراد خطاکار و بی‌گناه با فرض لزوم صحت برابر دو گروه، نقطه تقاطع دو نمودار افراد

جدول(۱) نتایج روش BART با کاهش تعداد نمونه های تکراری مربوط به سوالات

تعداد نمونه	۱۰ نمونه	۱۵ نمونه	۲۵ نمونه	۳۰ نمونه
صحت	%۷۸	%۷۸.۵۷	%۸۱	%۸۱.۳۵

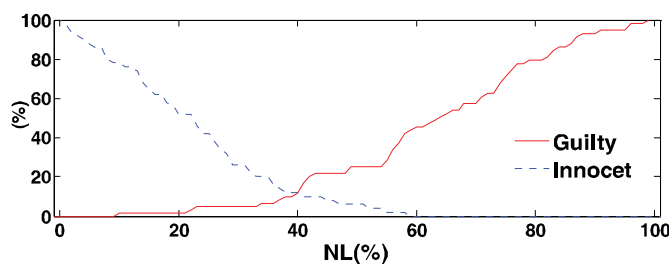


شکل (۵) هیستوگرام تجمعی نتایج BART بر روی افراد خطاکار و بی‌گناه (برای حالت استفاده از ۳۰ تکرار)



شکل (۷) نمایش میانیگن کل پتانسیل برانگیخته دسته افراد خطاکار در سه نوع سؤال هدف، غیر مرتبط و پرورب

شکل (۶) نمایش میانیگن کل پتانسیل برانگیخته دسته افراد بی‌گناه در سه نوع سؤال هدف، غیر مرتبط و پرورب



شکل (۸) هیستوگرام تجمعی نتایج ترکیب نتایج BART و BAD بر روی افراد خطاکار و بی‌گناه

۲-۳-۴- نتایج طبقه‌بندی کننده‌ها

روش‌های موجود تحلیل پتانسیل برانگیخته (BAD, BCD) (and LDA) پیاده‌سازی شد و نتایج آن‌ها با دو معیار صحت طبقه‌بندی و مساحت زیرمنحنی (AUC) در جدول (۲) گزارش شده است.

۴-۳-۴- نتایج تحلیل چندمد

نتیجه انواع ترکیب نتایج تحلیل متانع رفتاری و مغزی در جدول (۳) گزارش شده است. روش آزمون مکنمار به عنوان یکی از روش‌های مقایسه نتایج طبقه‌بندی کننده‌ها در مقایسه روش‌ها به کار گرفته شده است. ایده آزمون مکنمار شمارش تعداد خطای ایجاد شده توسط طبقه‌بندی کننده اول که طبقه‌بندی کننده دوم آن را درست تشخیص داده است و بر عکس است [۲۱]. صحت روش‌ها توسط این

۴-۳-۴- نتایج تحلیل پتانسیل برانگیخته

۴-۱-۳-۴- نمایش حوزه زمان

به منظور تحلیل پتانسیل‌های برانگیخته بینایی، از کanal PZ که در کارهای قبلی برای تشخیص P300 مناسب، گزارش شده بود، استفاده گردید. شکل (۶) میانگین کل مربوط به انواع سوالات را در گروه بی‌گناه و شکل (۷) همین مقادیر مربوط به دسته افراد خطاکار را نشان می‌دهد. پاسخی که پیش‌بینی می‌شد در شکل نشان داده شده است. به طوری که در سوژه خطاکار، پاسخ تحریک پرور شبیه پاسخ کنترل است و در مقابل در سوژه بی‌اطلاع، پاسخ پرور بیشتر به پاسخ‌های غیر مرتبط شبیه است.

یک دلیل اختلاف نتایج [۱۲] در تحلیل زمان پاسخ به عنوان یک متغیر مستقل در تشخیص دانش فرد خطاکار با نتایج تحقیق حاضر، اختلاف در پروتکل اجرای آزمون است، بهطوری که در این تحقیق و تحقیقاتی دیگر که از تحلیل زمان پاسخ نتایج قابل قبولی گرفته‌اند در قالب پروتکل GKT [۱۳] زمان پاسخ افراد را ثبت کرده‌اند. بهطور مثال در پارادایم‌های دیگر نتایج قابل قبولی از زمان پاسخ در حالت انجام فعالیت استرپ هیجانی به‌دست نیاورند. بهطوری که گرونو در [۱۲] گزارش کرده است که در آزمون مبتنی بر استرپ هیجانی که لغات در قالب یک سناریوی دزدی نشان داده می‌شدند، اختلاف معنی‌داری در زمان پاسخ دو دسته خطاکار و بی‌گناه مشاهده نشد. همچنین در [۲۲] نیز اختلاف معنی‌دار زمان پاسخ در قالب آزمون استرپ هیجانی، رد شده است.

دلیل دیگر عدم دستیابی به نتیجه مطلوب در [۱۲] بازه زمانی طولانی بین تحریک‌ها بوده است، زیرا در [۱۲] هدف ثبت همزمان هدایت الکتریکی پوست و زمان پاسخ بوده است که نیازمند بازه بیش از سه ثانیه است که این خود باعث کاهش کارآیی تحلیل زمان پاسخ می‌شود، در حالی که بازه تحریک در این تحقیق دو ثانیه بوده است.

همچنین بر روی این موضوع که آیا با مشارکت تحلیل زمان پاسخ با تحلیل پتانسیل‌های مغزی می‌توان نتایج تشخیص را بهبود داد، نتایج فرضیه بهبود کارآیی با استفاده از تحلیل چندمداد را تأیید کرد، بهطوری که روش چندمداد بهبود صحیح نزدیک به ۷٪ با حالت تکمد داشت. با توجه به جداول ۲ و ۴ بهترین صحت و بهترین سطح زیرمنحنی مربوط به روش چندمداد BART-BAD بود که با معیار آزمون مکنمار هم دارای سطح معنی‌داری در مقایسه با روش LDA بود.

هیستوگرام تجمعی مربوط به روش BART-BAD در شکل (۸) دارای الگوی شبیه به توزیع نتایج در مطالعات قبل بود [۱۸] که این شباهت الگوی توزیع در حین بهبود تشخیص، به عنوان معیاری برای درستی روش پیشنهادی است. از رویکرد دیگر، از آن‌جاکه این روش از دو منبع در تشخیص دانش فرد خطاکار استفاده می‌کند، بنابرین از قدرت بیشتری برای جلوگیری از مقابله فرد با آزمون کسب دانش فرد خطاکار برخوردار است. تحلیل زمان پاسخ ابتدا می‌تواند به عنوان معیاری در تشخیص فرد مقابله‌گر و در درجه دوم به عنوان تشخیص دانش مخفی شده، استفاده گردد.

معیار آماری مورد مقایسه قرار گرفت و نتایج آن در جدول (۴) آورده شده است.

روش BART-BAD که بهترین نتیجه را در مقایسه با روش‌های گذشته و روش‌ها پیاده‌سازی شده در این تحقیق داشت به صحت تشخیص و سطح زیرمنحنی مناسب دست یافت و این نتیجه با معیار مک نمار اختلاف معنی‌داری نیز با دیگر روش‌ها دارد.

جدول (۳) نتایج تحلیل روش‌های چند مد

BART	BART-LDA	BART-BCD	BART-BAD	Methods
81.35%	81%	87.15%	88.07%	Accuracy
0.8702	0.9105	0.9508	0.9559	AUC

جدول (۴) نتایج مقایسه نتایج طبقه‌بندی کننده‌ها با معیار آزمون مک نمار

BART with CDBART-B	BCD with BART-BCD	BAD with BART-BAD	BART with BART-BAD	Methods
.180	.210	.002	.180	P Value

۵- بحث و نتیجه‌گیری

در این تحقیق به بررسی امکان استفاده از تحلیل زمان پاسخ افراد به عنوان یک متغیر معتبر در تشخیص اطلاعات مخفی شده پرداخته شد. نتایج این بخش با نتایج گزارش شده در [۱] هماهنگ بود و در شکل (۴) نشان داده شد که میانگین زمان پاسخ نسبت به سوال پرور در گروه افراد خطاکار نسبت به افراد بی‌گناه دارای اختلاف معنی‌داری است، این نتیجه در کارهای [۱، ۱۰] قبل از گزارش شده بود. بنابرین ویژگی استخراج شده بر اساس این فرضیه نیز دارای سطح تفاوت معنی‌داری با آزمون آماری T-Student در تفکیک دو گروه بود.

نتیجه طبقه‌بندی افراد خطاکار و بی‌گناه تنها بر اساس روش تحلیل زمان پاسخ توسعه یافته دارای ۸۱.۳۵٪ صحت بازشناسی در مقابل بهترین نتیجه تحلیل پتانسیل برانگیخته [۱۸] یعنی ۸۰٪ بود. سطح زیرمنحنی ROC این روش نیز ۸۷٪ نسبت به ۸۳٪ روش تحلیل مغزی بود.

نتیجه دیگری که از کاهش تعداد نمونه‌های تصمیم‌گیری در روش تحلیل زمان پاسخ بوت استرپ شده به دست آمد در جدول (۱) نمایش داده شده است؛ که براساس آن نتیجه تشخیص با کاهش تعداد تکرارها دارای پایداری است، فایده این نتیجه این است که صحت تشخیصی مشابهی با زمان تست کوتاه‌تر نیز به دست می‌آید.

سال ۱۳۸۸ شماره ۱ پیاپی ۱۱

فصل نمایه
گلچین



- [12]- Gronau, N., Shakhar, G. B. and Cohen, A., 2005. Behavioral and physiological measures in the detection of concealed information, *Journal of Applied Psychology* 90(1), 147-158.
- [13]- Verschueren, B., Crombez, G., Koster, E. H. W., 2005, Behavioral responding to concealed information: examining the role of relevance orienting. *Psychologica Belgica*, 45, 207-216.
- [14]- Verschueren, B., Crombez, G., Koster, E. H. W., & Declercq, A. 2004. Autonomic and behavioral responding to concealed information: Differentiating orienting and defensive responses. *Psychophysiology*, 41, 261-266.
- [15]- Seymour T. L., Colleen M., Seifert M. G., Shafto A. and Mosmann. L, 2000. Using Response Time Measures to Assess "Guilty Knowledge. *Journal of Applied Psychology* 85 (1), 30-37.
- [16]- Rosenfeld, J.P., Soskins, M., Bosh, G., Ryan, A., 2004. Simple effective countermeasures to P300-based tests of detection of concealed information. *Psychophysiology* 41 (2), 205-219.
- [17]- Meijer E.H., Smulders F.T.Y., Merckelbach H.L.G.J. 2008 Combining P300 and SCR in the detection of concealed information, *Symposium / International Journal of Psychophysiology* 69, 139-205.
- [18]- Abootalebi, V., Moradi, M. H., Khalilzadeh, M. A. 2006. A comparison of methods for ERP assessment in a P300-based GKT. *International Journal of Psychophysiology* 62, 309-320.
- [19]- Abootalebi, V. 2006. Analysis of Cognitive Components of Brain Potentials and it's Application in Lie Detection. PhD Thesis in biomedical engineering, Amirkabir University of Technology.
- [20]- Wei, L., Yang, Y R., Nishikawa R. M. and Jiang, Y, 2005. A Study on Several Machine-Learning Methods for Classification of Malignant and Benign Clustered Micro calcifications, *IEEE Transactions On Medical Imaging* 24 (3), 371-380.
- [21]- Sykacek, P., Roberts, S., Stokes, M., Curran, E., Gibbs, M. and Pickup L, 2003. Probabilistic methods in BCI research. *IEEE Transactions On Neural Systems And Rehabilitation Engineering* 11 (2). 192-195.
- [22]- Seymour T. L., Kerlin J. R. 2007 Successful detection of verbal and visual concealed knowledge using an RT-based paradigm *Applied Cognitive Psychology*, 21(4), 475 – 490.
- [23]- Mohammadian. A., Abootalebi. V., Moradi. M. H., Khalilzadeh. M. A. Multimodal Detection of Deception Using fusion of Reaction Time and P300 component, Cairo International Biomedical Engineering Conference 2008.

سال ۱۳۸۸ شماره ۱ پیاپی ۱۱

۶- مراجع

- [1]- Rosenfeld, J.P., Shue E. and Singer, E, 2007. Single versus multiple probe blocks of P300-based concealed information tests for self-referring versus incidentally obtained information. *Biological Psychology* 74, 396-404.
- [2]- Ganis, G., Kosslyn, S.M., Stose, S., Thompson, W.L., Yurgelun-Todd, D.A., 2003. Neural correlates of different types of deception: an fMRI investigation. *Cerebral Cortex* 13, 830–836.
- [3]- Kozel, F.A., Padgett, T.M., George, M.S., 2004a. A replication study of the neural correlates of deception. *Behavioral Neuroscience* 118, 852–856.
- [4]- Kozel, F.A., Revell, L.J., Lorberbaum, J.P., Shastri, A., Elhai, J.D., Horner, M.D., Smith, A., Nahas, Z., Bohning, D.E., George, M.S., 2004b. A pilot study of functional magnetic resonance imaging brain correlates of deception in healthy young men. *The Journal of Neuropsychiatry and Clinical Neurosciences* 16, 295–305.
- [5]- Langleben, D.D., Loughead, J.W., Bilker, W.B., Ruparel, K., Childress, A.R., Busch, S.I., Gur, R.C., 2005. Telling truth from lie in individual subjects with fast event-related fMRI. *Human Brain Mapping* 26, 262–272.
- [6]- Lee, T.M.C., Liu, H.L., Tan, L.H., Chan, C.C.H., Mahankali, S., Feng, C.M., Hou, J., Fox, P.T., Gao, J.H., 2002. Lie detection by functional magnetic resonance imaging. *Human Brain Mapping* 15 (3), 157–164.
- [7]- National Research Council, 2002. *The Polygraph and Lie Detection*. National Academies Press, Washington, D.C.
- [8]- Nunez, J.M., Casey, B.J., Egner, T., Hare, T., Hirsch, J., 2005. Intentional false responding shares neural substrates with response conflict and cognitive control. *Neuroimage* 25, 267–277.
- [9]- Phan, K.L., Magalhaes, A., Ziemlewicz, T.J., Fitzgerald, D.A., Green, C., Smith, W., 2005. Neural correlates of telling lies: a functional magnetic resonance imaging study at 4 Tesla. *Academic Radiology* 12, 164–172.
- [10]- Farwell, L.A., Donchin, E., 1991. The truth will out: interrogative polygraphy (lie detection) with event-related potentials. *Psychophysiology* 28, 531–547.
- [11]- Rosenfeld, J.P., 2002. Event-related potentials in the detection of deception, malingering, and false memories. In: Kleiner, M. (Ed.), *Handbook of Polygraph Testing*. Academic Press, N.Y., pp. 265–286.

پنجاه مقاله در کنفرانس‌های معتبر و بین‌المللی داخل و خارج از کشور منتشر نموده است. کتاب "آنالیز سیگنال مشتمل بر فیلتر بانک‌ها، تبدیل ویولت و بازنمایی زمان-فرکانس" توسط وی در سال ۱۳۸۰ ترجمه شده است. نامبرده دهها پروژه کارشناسی ارشد و دکترا را سرپرستی نموده و در چند طرح تحقیقاتی مشارکت داشته است. پروژه کارشناسی ارشد "طراحی و ساخت دستگاه انتقال تلفنی سیگنال‌های قلبی" به سرپرستی ایشان برندۀ جایزه سوم جشنواره جوان خوارزمی در سال ۱۳۸۰ و ثبت شده به عنوان یک اختصار در داخل کشور می‌باشد. زمینه‌های تحقیقاتی مورد علاقه وی اندازه‌گیری، ثبت، پردازش و تحلیل سیگنال‌های حیاتی و تصاویر پزشکی، کاربرد سیستم‌های فازی و فازی عصی در پردازش و به کارگیری تبدیل ویولت، مالتی ویولت و تبدیلات زمان-فرکانس، طیف‌های مرتبه بالا، شبکه‌های ویولت و ویوت است. وی هم اکنون دانشیار مهندسی پزشکی دانشگاه صنعتی امیرکبیر می‌باشد.

نشانی (رایانامک) پست الکترونیکی ایشان عبارت است از:



محمدعلی خلیلزاده درجه کارشناسی مهندسی برق - الکترونیک در سال ۱۳۶۹ از دانشگاه صنعتی شریف و کارشناسی ارشد مهندسی برق- مهندسی پزشکی در سال ۱۳۷۲ از همان دانشگاه دست یافت. ایشان در سال ۱۳۷۸ به درجه دکتری تخصصی مهندسی برق - مهندسی پزشکی در دانشگاه تربیت مدرس رسید. وی دارای سابقه فعالیت و تدریس در گروه مهندسی پزشکی دانشگاه شاهد، دانشکده مهندسی پزشکی دانشگاه صنعتی امیرکبیر و دانشکده مهندسی پزشکی واحد علوم و تحقیقات دانشگاه آزاد اسلامی در دوره‌های کارشناسی و تحصیلات تکمیلی می‌باشد. ایشان دارای سوابق فعالیت‌های پژوهشی در جهاد دانشگاهی صنعتی شریف و پژوهشکده پردازش هوشمند علائم بوده و هم اکنون در زمینه اندازه‌گیری، پردازش و تحلیل سیگنال‌های حیاتی به ویژه سیگنال‌های مغزی، مدل‌سازی سیستم‌های حیاتی، تحلیل فرآیندهای درکی و سایکوفیزیولوژیکی در انسان فعالیت دارد. وی هم اکنون مدیر گروه مهندسی پزشکی دانشگاه آزاد اسلامی مشهد است.

نشانی (رایانامک) پست الکترونیکی ایشان عبارت است از:



امین محمدیان در مقطع کارشناسی مهندسی پزشکی در سال ۱۳۸۱ از دانشگاه صنعتی امیرکبیر فارغ التحصیل شده و کارشناسی ارشد خود را در گرایش بیوالکتریک بخش مهندسی برق دانشگاه تربیت مدرس

تهران در سال ۱۳۸۴ به اتمام رسانده است. وی هم اکنون دانشجوی دکتری مهندسی پزشکی در دانشگاه صنعتی امیرکبیر و مدیر گروه پژوهشی پردازش علائم حیاتی در پژوهشکده پردازش هوشمند علائم می‌باشد. زمینه‌های کاری او: پردازش پتانسیل‌های الکتریکی زیستی، پردازش اطلاعات فرازبانی گفتار و پردازش تصاویر حرارتی به منظور تشخیص حالات هیجانی است.

نشانی (رایانامک) پست الکترونیکی ایشان عبارت است از:



وحید ابوطالبی مدرک کارشناسی خود را در رشته مهندسی برق - الکترونیک در سال ۱۳۷۵ از دانشگاه صنعتی شریف و مدرک کارشناسی ارشد در رشته مهندسی برق- مهندسی پزشکی را در سال ۱۳۷۸ از همان دانشگاه اخذ نمود. وی در سال ۱۳۸۵ دکترای خود را در رشته مهندسی پزشکی - بیوالکتریک از دانشگاه صنعتی امیرکبیر دریافت نمود و هم‌اکنون عضو هیأت علمی دانشکده مهندسی برق دانشگاه یزد می‌باشد. زمینه‌های تحقیقاتی مورد علاقه وی پردازش سیگنال‌های حیاتی، تجزیه و تحلیل سیگنال‌های مغزی و بررسی فعالیت‌های شناختی می‌باشد.

نشانی (رایانامک) پست الکترونیکی ایشان عبارت است از:



محمد حسن مرادی کارشناسی خود را در مهندسی برق - الکترونیک در سال ۱۳۶۷ از دانشکده فنی دانشگاه تهران و کارشناسی ارشد مهندسی برق - الکترونیک در سال ۱۳۶۹ از همان دانشگاه اخذ نمود. وی در سال ۱۳۷۴

دکترای خود را در رشته مهندسی برق - مهندسی پزشکی از دانشگاه تربیت مدرس دریافت نمود و از آن زمان تاکنون عضو هیأت علمی دانشکده مهندسی پزشکی دانشگاه صنعتی امیرکبیر می‌باشد. تاکنون پنجاه مقاله در مجلات علمی پژوهشی داخل و خارج از کشور و بیش از صد و

فصلنامه
فصلنامه

